

РАЗДЕЛ 1. ПРИНЦИПЫ И МЕТОДЫ ЛУЧЕВОЙ ДИАГНОСТИКИ

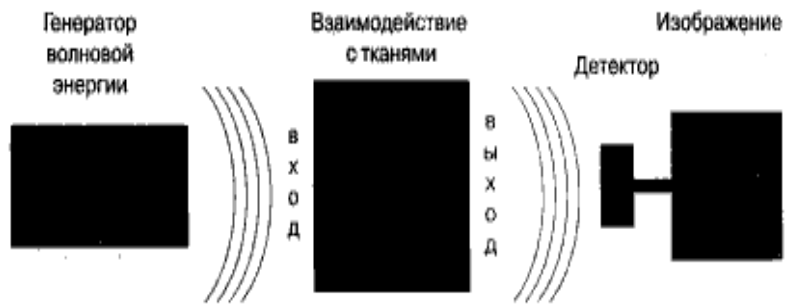


Рис. 1.1.

Схема получения изображения в медицинской радиологии.



Рис. 1.2.

Рентгенография грудной клетки в прямой проекции.



Рис. 1.3.

Рентгеновская компьютерная томограмма головного мозга. Кровоизлияние в левую гемисферу и желудочки головного мозга.



Рис. 1.4.
Искусственное контрастирование
мочевыделительных путей: экскреторная урография.

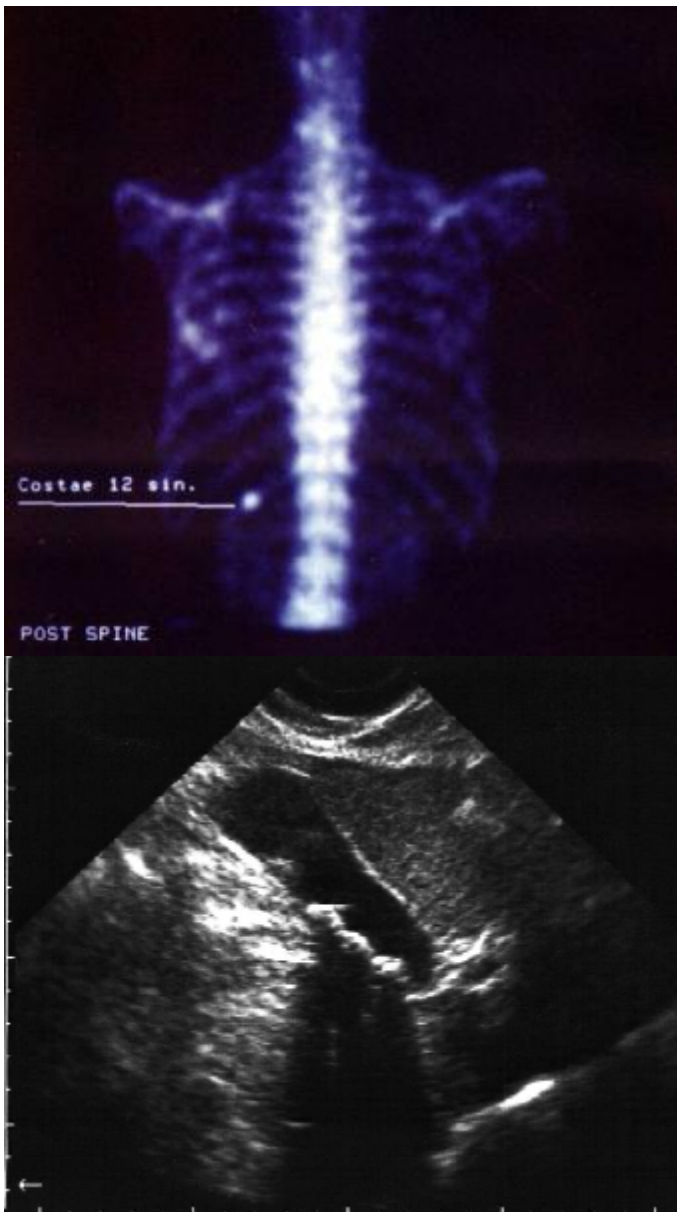


Рис. 1.5.
Статическая сцинтиграфия скелета с ^{99m}Tc – технефором. Метастаз рака в 12 ребро слева.

Рис. 1.6
Эхограмма двумерная печени и
желчного пузыря. На фоне анэхогенной
желчи виден гиперэхогенный камень в
желчном пузыре.

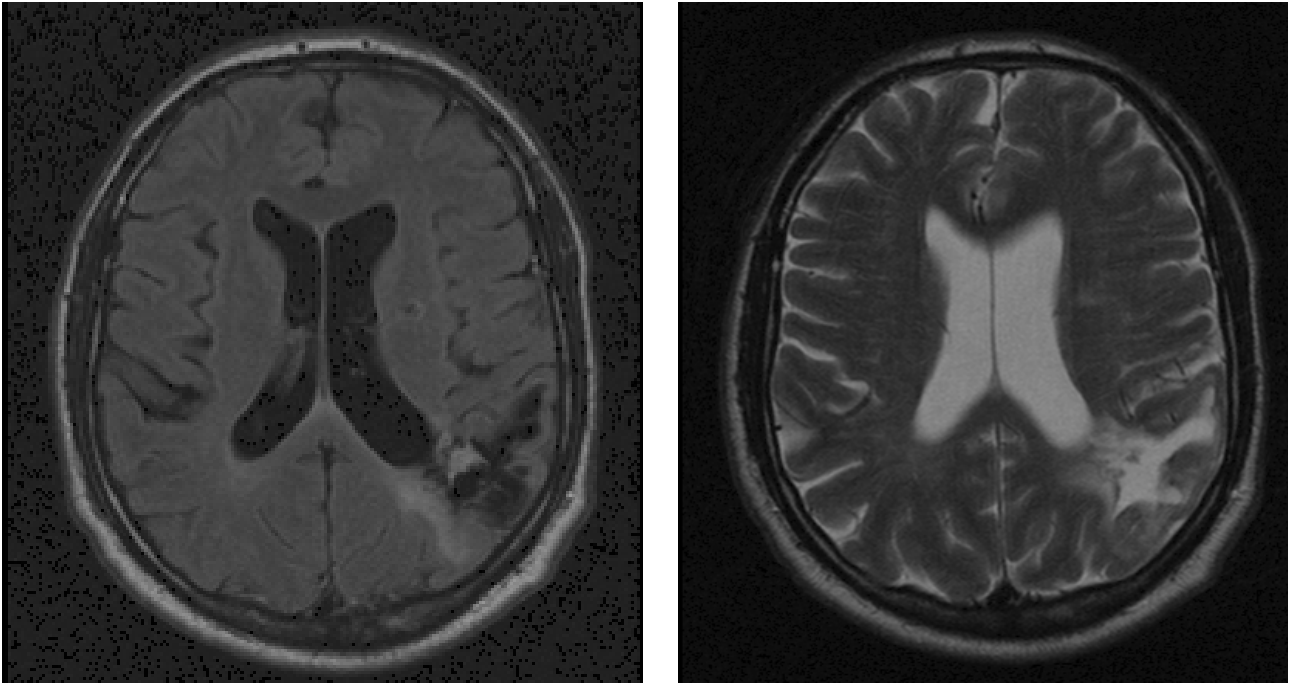


Рис. 1.7.

МРТ головного мозга. В режиме T_1 (левый снимок) виден низко-интенсивный сигнал (черного цвета) в левой гемисфере. В режиме T_2 (правый снимок)– высокоинтенсивный сигнал. Кистозное образование после ишемического инсульта.